

# Fluxos turbulentos em plantação de eucalipto.

Osvaldo Cabral<sup>1</sup>, Jônatan Tatsch<sup>2</sup>, Helber Freitas<sup>2</sup>, Humberto Rocha<sup>2</sup>,  
Marcos Ligo<sup>1</sup> & Eduardo Gomes<sup>2</sup>. <sup>1</sup>Embrapa Meio Ambiente, <sup>2</sup>USP-IAG-  
LCB.

[ocabral@cnpma.embrapa.br](mailto:ocabral@cnpma.embrapa.br)

## 1. Introdução.

As plantações florestais de rápido crescimento representam uma componente em crescimento na mudança de uso da terra nas regiões tropicais. Como as plantações são associadas à alta demanda dos recursos naturais, os impactos decorrentes de tal expansão (Stape *et al.*, 2004) vêm sendo questionados.

A aplicação da covariância de vórtices tem possibilitado o monitoramento das interações superfície-atmosfera, além da maior integração espacial (Baldoch et al., 2000). Porém, poucos trabalhos foram realizados em plantios de eucalipto (Leuning *et al.*, 2005; Mateus *et al.*, 2006) que apontam diferenças nos fluxos em função da densidade e clima.

## 2. Material e métodos.

A área da plantação de eucalipto (*E.grandis E.urophylla*) localizada em 21°35'S 47°36'W e densidade de 1410 árvores por hectare (3mx3m), tem mais de 1000ha contínuos de vegetação, em solo arenoso, cuja altura média das plantas (3 anos) variou entre 13m e 18m ao longo do período de medidas.

Os fluxos de calor sensível (H), latente (LE) e CO<sub>2</sub> (NEE=Net Ecosystem Exchange) foram obtidos por meio de anemômetro sônico tridimensional (Csat3) e analisador de gás infravermelho (LI7500), instalados à 24m. Utilizaram-se médias de bloco (30min) para o cálculo das flutuações (20Hz) e as correções de Webb *et al.*(1980). As variações no armazenamento de

$\text{CO}_2$  foram obtidas em 5 níveis no interior do dossel por um analisador CIRAS-SC. Na torre também foram instalados sensores de radiação e fluxo de calor no solo.

Os fluxos noturnos de NEE foram corrigidos com base nos valores de  $u^* > 0,25 \text{ ms}^{-1}$  e temperatura do ar; durante os dias em que choveu, NEE e LE foram estimados por meio dos fluxos de PAR (radiação fotossinteticamente ativa).

### **3. Resultados e Discussão.**

Os dados foram coletados entre os dias 69 de 2006 e 236 de 2007. Os totais diários de H e LE (Figura 1) variaram entre 0,8 e 18  $\text{MJ m}^{-2}$  segundo à sazonalidade do clima; o fechamento do balanço de energia (valores de 30min) foi  $(\text{Rn-G}) = 1,02 * (\text{H+LE})$ , e  $R^2$  de 0,90. Os valores de LE representaram 80% de Rn-G no verão, e 20% no inverno (Figura 2), cujos totais anuais de LE e precipitação foram 1201mm e 1370mm (Normal de 1498mm), respectivamente. Durante os primeiros 200 dias a diferença entre LE e a precipitação foi de 270mm.

A sazonalidade foi mais marcante nos fluxos de NEE (Figura 2), com totais entre -0,6 e 0,3  $\text{mol CO}_2 \text{m}^{-2} \text{dia}^{-1}$  no verão e inverno, respectivamente. A eficiência média do uso de água (WUE) variou entre -0,0986 e -0,0857  $\text{mol CO}_2 \text{m}^{-2} \text{mm}^{-1}$ . O total acumulado de NEE (Figura 3) sem correção (raw) foi de  $-217 \text{ mol CO}_2 \text{m}^{-2} \text{dia}^{-1}$  e similar ao total diurno ( $-260 \text{ mol CO}_2 \text{m}^{-2} \text{dia}^{-1}$ ); aplicando-se a correção de  $u^*$  o NEE acumulado ( $-129 \text{ mol CO}_2 \text{m}^{-2} \text{dia}^{-1}$ ) apresentou uma redução de 40% em relação ao total não corrigido.

### **4. Conclusões.**

Durante 12 meses o total de LE foi de 1201mm e a precipitação 1377mm; o déficit observado durante o inverno atingiu 270mm. O total de  $\text{CO}_2$

assimilado foi de 33 tCO<sub>2</sub>ha<sup>-1</sup>ano<sup>-1</sup> e a eficiência do uso de água (NEE/LE) variou entre 43,4 e 37,7 kgCO<sub>2</sub>ha<sup>-1</sup>mm<sup>-1</sup>.

## 5. Referências Bibliográficas.

- Baldocchi, D., Finnigan J.J., Wilson, K., Paw, U.K.T., Falge, E. On measuring net ecosystem carbon exchange over tall vegetation on complex terrain. *Boundary-Layer Meteorol* 96:257–291, 2000.
- Leuning R., Cleugh, H., Zegelin,S., Hughes,D. Carbon and water fluxes over a temperate Eucalyptus forest and tropical wet/dry savanna in Australia. *Agric.For.Meteorol.* 129:151-173, 2005.
- Mateus, J., Pita, G., Rodrigues, A., Oliveira, H. Seasonal Evolution of the Evapotranspiration Regime and Carbon Assimilation Over a *Eucalyptus globulus* Plantation. *Silva Lusitana*, 14, 135-147, 2006.
- Stape, J.L., Binkley, D., Ryan, M.G. Eucalyptus production and the supply , use and efficiency of use of water, lightand nitrogen across a geographic gradient in Brazil. *For.Ecol.Management*, 193, 17-31, 2004.
- Webb, E.K., Pearman, G.I., Leuning, R.G. Correction of flux measurements for density effects due to heat and water vapour transfer. *Quat.J.R.Met. Soc.*, 106, 85-100, 1980.

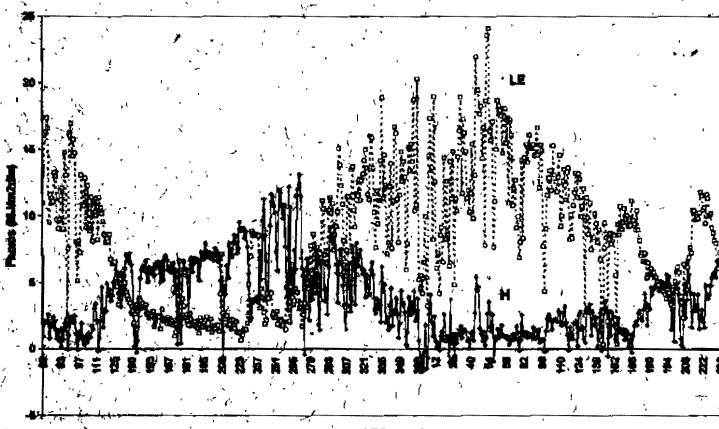


Figura 1- Totais diários ( $MJm^{-2}dia^{-1}$ ) de H e LE em plantação de eucalipto.

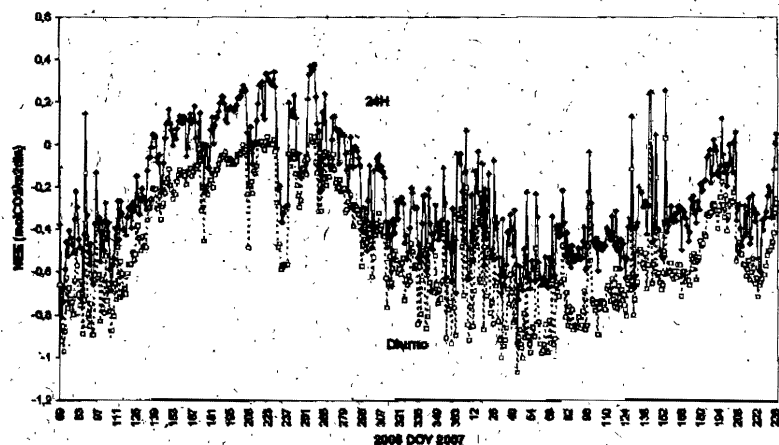


Figura 2- Totais de NEE ( $molCO_2m^{-2}dia^{-1}$ ) 24horas e período diurno em plantação de eucalipto.

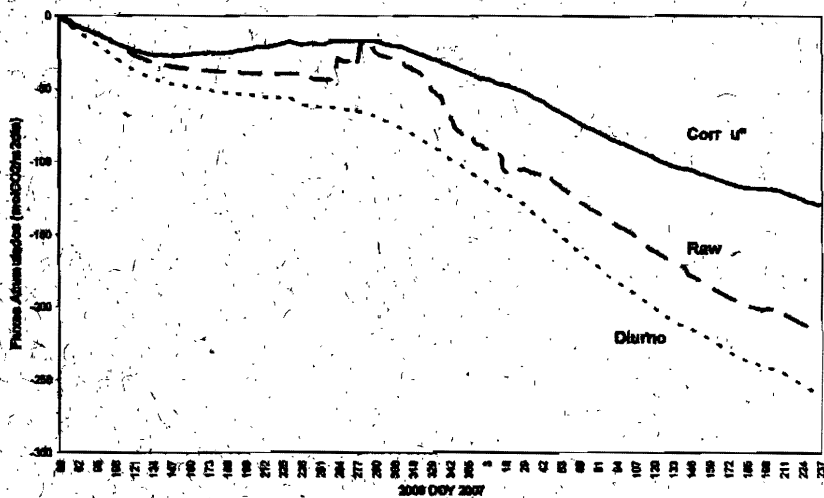


Figura 3- NEE ( $molCO_2m^{-2}dia^{-1}$ ) acumulado sem correção (Raw) e corrigido por  $u^*$  em plantação de eucalipto.